

Chap. 8.

Les Ondes

Stationnaires

Exemples des ondes stat.:

- Les instruments de "musique"
- Guitare : onde stat. dans les cordes
- Instruments à vent : onde sonore stat. dans les tubes
- tambour (ondes stat. sur les peaux [skins])

~ Les instruments transforment les vibrations dans une onde stationnaire en/aux des ondes sonores qui propagent à travers l'air.

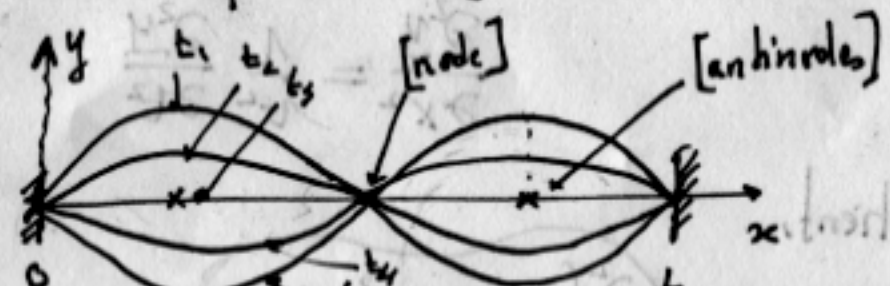
Nous allons voir que :

(i) Ondes stat. peuvent considérer comme superposition d'ondes progressives avec même freq., même Amplitude et se propage dans directions opposées.

(ii) Ondes stat. sont les modes propres d'un système vibratoire.

81. Onde stat. sur une Corde

- Considérez ondes transversales sur une corde tendue, qui est de longueur L fixe au points $x=0$ et $x=L$.



Le déplacement y est toujours zéro à $x=0$, & $x=L$:

$$y(x=0, t) = y(x=L, t) = 0$$

Puisque la corde est fixé

à ces 2 points

- Les positions du maxima & minima ne se déplacent pas le long de l'axe-x en func. de t ~ nom : ondes stationnaires
- Lorsque la corde vibre, toutes ses particules vibrent avec même fréquence mais diff. amplitudes le long [OHS] autour de ces positions d'équilibre.

→ Ces caract. indiquent que le déplacement y peut être représenté par :

$$y(x, t) = f(x) \cos(\omega t + \phi)$$

variation

d'ampl. le long de l'axe-x

OHS

~ On a séparé la dépendance de y en x et t .

~ Subst. 8.2 dans l'équ. d'onde à 1D:

[absidu]

$$\frac{\partial^2 y}{\partial x^2} = \frac{1}{v^2} \frac{\partial^2 y}{\partial t^2}$$

8.3

on obtient,

$$\frac{\partial^2 f}{\partial x^2} = -\frac{\omega^2}{v^2} f(x)$$

8.4

C.f. OHS à 1DDL.

$$\ddot{x} = -\omega^2 x$$

avec sol.

$$x(t) = A \cos(\omega t + \phi) + B \sin(\omega t + \phi)$$

8.5

Alors, la soln. gen. l'équ. 8.4 est:

$$f(x) = A \cos\left(\frac{\omega}{v} x\right) + B \sin\left(\frac{\omega}{v} x\right)$$

8.6

où A & B sont constantes déterminées par les

conds. aux bords/limites:

$$\begin{cases} f(0) = 0 \\ f(L) = 0 \end{cases}$$

8.7

$$(H) \quad \omega(x,t) = (x,t)$$

$$f(0) = 0 \Rightarrow A = 0$$

$$f(L) = 0 \Rightarrow B \sin\left(\frac{\omega}{v} L\right) = 0$$

$$\Rightarrow \frac{\omega L}{v} = n\pi$$

; $n = 1, 2, 3, \dots$

[$n=0$ est trivial, $f(x)=0$]

$$\Rightarrow \omega_n = \frac{n\pi v}{L}$$

pour chaque $n \sim \omega_n$ associée

8.8a

8.8b

8.9

$$f_n(x) = B_n \sin\left(\frac{\omega_n}{v} x\right)$$

et finalement le déplacement de la corde 8.2 est:

$$y_n(x,t) = B_n \sin\left(\frac{n\pi}{L} x\right) \cos(\omega t + \phi)$$

8.10

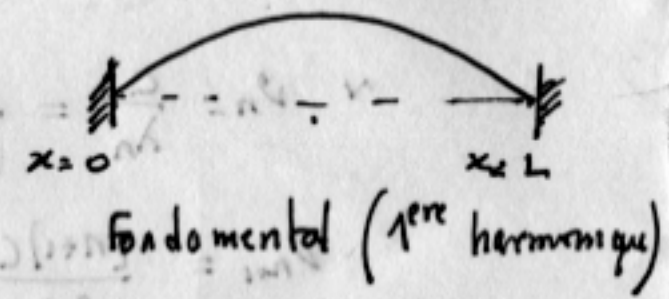
Cette équ. décrit des ondes stat. sur la corde, où chaque valeur de n correspond à un motif [pattern] d'onde stat. différente. Ces motifs sont encore appelés: "les modes de vibrations de la corde".

↳ modes propres de la corde vibrante.

n=1

$$f_1(x) = B_1 \sin\left(\frac{\pi}{L}x\right)$$

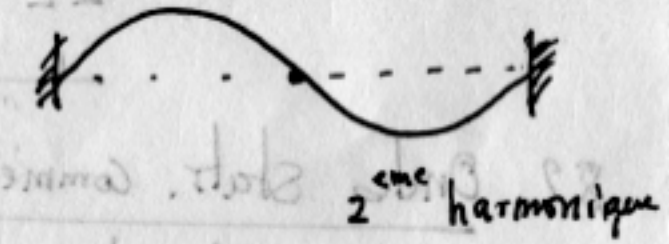
$$\omega_1 = \frac{\pi v}{L}$$



n=2

$$f_2(x) = B_2 \sin\left(\frac{2\pi}{L}x\right)$$

$$\omega_2 = \frac{2\pi v}{L}$$



⋮

La période:

$$T_n = \frac{2\pi}{\omega_n} = \frac{2\pi}{\frac{n\pi v}{L}} = \frac{2L}{n v}$$

8.11

anti-node = n pour n^{ème} harmonique.

Longueur d'onde λ d'une onde stat. est.

$$\lambda_n = \frac{v}{\nu_n} = \frac{v}{\omega_n/2\pi} = \frac{v 2\pi}{n \pi v}$$

8.12

$$\lambda_n = \frac{2L}{n} \Leftrightarrow n \frac{\lambda_n}{2} = L$$

obten une onde stat. seulement si # entier de demi-longueur se situe entre les deux extrémités fixées de la corde.

nombre d'ondes

$$k_n = \frac{2\pi}{\lambda_n} = \frac{n\pi}{L}$$

8.13

⇒ Equ. 8.10 peut alors s'écrire comme :

$$y_n(x, t) = B_n \sin(k_n x) \cos(\omega t + \phi)$$

8.14

Remarque:

① Pour n=1:

$$\nu_1 = \frac{\omega_1}{2\pi} = \frac{v}{2L} = \frac{1}{2L} \sqrt{\frac{T}{\mu}}$$

8.15

La fréq. fond. d'une corde tendue dépend de $L, T \& \mu$.

si en varie un des ces variable ⇒ diff. ν .
[Guitare!]

② On vit d'après equ. 8.8b que:

$$\omega_n = \frac{n\pi v}{L} = n \omega_1$$

8.16

Les fréqs. de tous les harmoniques d'une corde tendue sont des multiples exactes de la fréq. fond. ω_1 , et alors forment une "SERIE HARMONIQUE".

Mais: pour la plupart des systèmes de vibrations ce n'est pas le cas. Ces fréqs. plus élevées sont appelées ["overtones"].

+ pas harmoniques

VOB.2

③ Les ondes stat. se produisent dans des nombreuses situations physiques diff. et pas seulement cordes tendues.

e.g. * Micro-onde: ondes EM ~~réfléchies~~ réfléchent à partir du four des murs de la four pour former des ondes stat.

* [reduce "cold spots" by rotating food]

* Mécanique Quantique, les niveaux d'énergie discrets d'atomes peuvent être considérés comme les ondes stat. solns. équ. de Schrödinger.

Exemple. Un tube laser de hélium-néon a une longueur $L = 0.49\text{m}$ et opère fonctionne à une longueur d'onde $\lambda = 633\text{nm}$. Quelle est la diff. de freq. entre les ondes stat. adjacentes dans le tube?

Soln.: La lumière dans le tube laser forme une onde stationnaire ~~entre~~ entre les 2 miroirs qui sont placés à les deux extrémités du tube.

$$\text{On a } \lambda_n = \frac{2L}{n} \quad \text{et} \quad \lambda_n v_n = v = c$$

$$v_n = \frac{c}{\lambda_n} = \frac{nc}{2L}$$

$$v_{n+1} = \frac{(n+1)c}{2L}$$

$$v_{n+1} - v_n = \frac{c}{2L} = 3.75 \times 10^8 \text{ Hz}$$

8.2. Ondes stat. comme une superposition de deux ondes progressives

On a vu dans chap. 7 que la soln. gén. de l'équ. d'onde à 1D est,

$$y(x,t) = f(x-ct) + g(x+ct) \quad (8.16)$$

Un exemple peut être,

$$y(x,t) = \frac{A}{2} \sin(kx - wt) + \frac{A}{2} \sin(kx + wt). \quad (8.17)$$

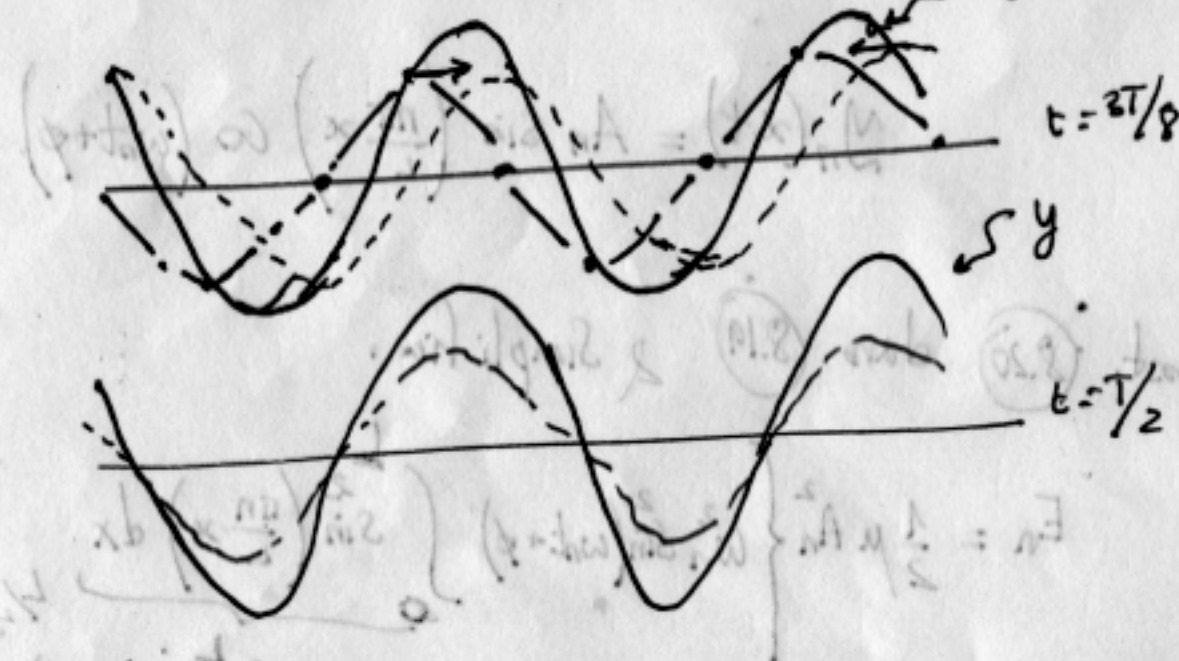
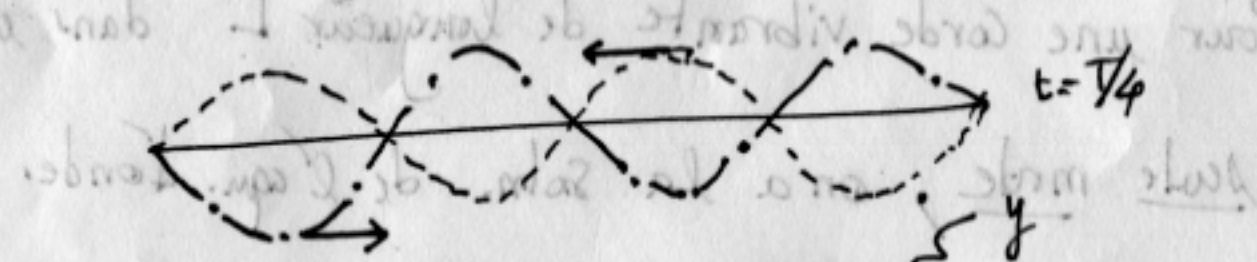
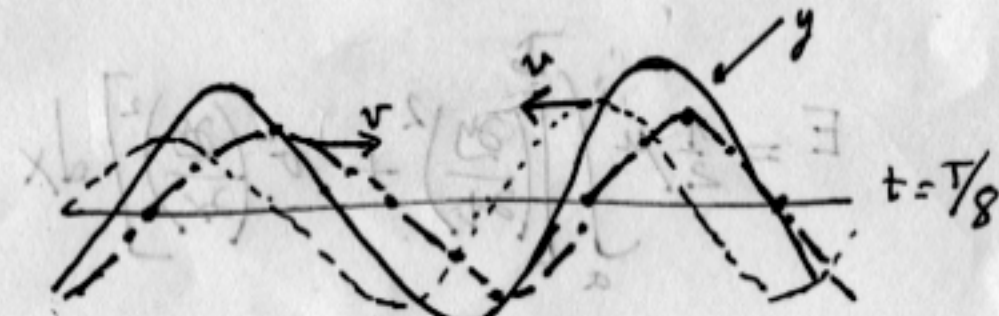
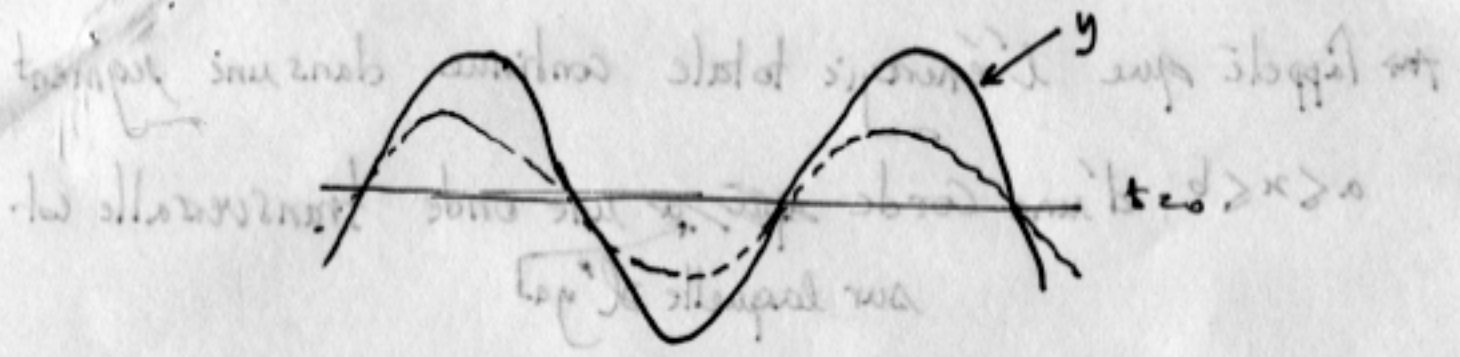
Utilisant l'identité:

$$\sin(\alpha + \beta) + \sin(\alpha - \beta) = 2 \sin \alpha \cos \beta$$

on a,

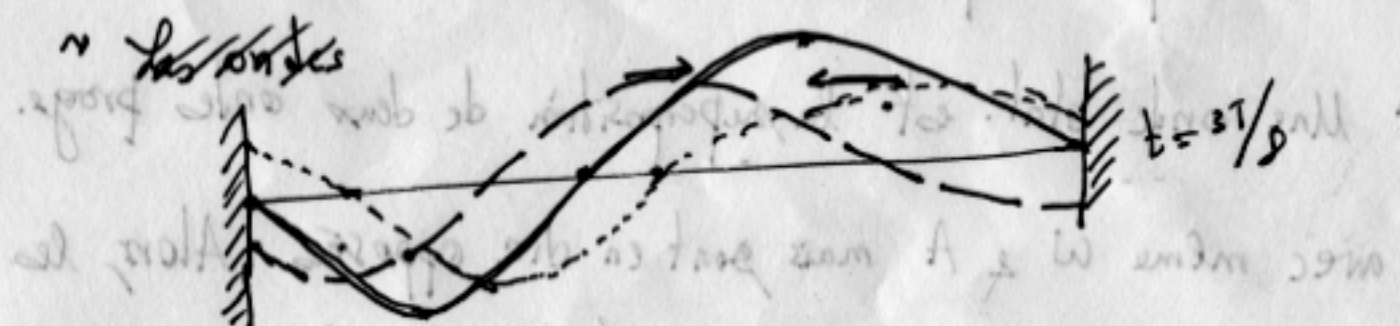
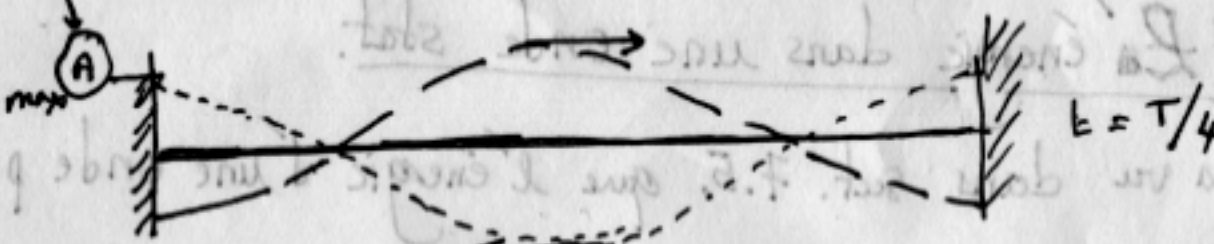
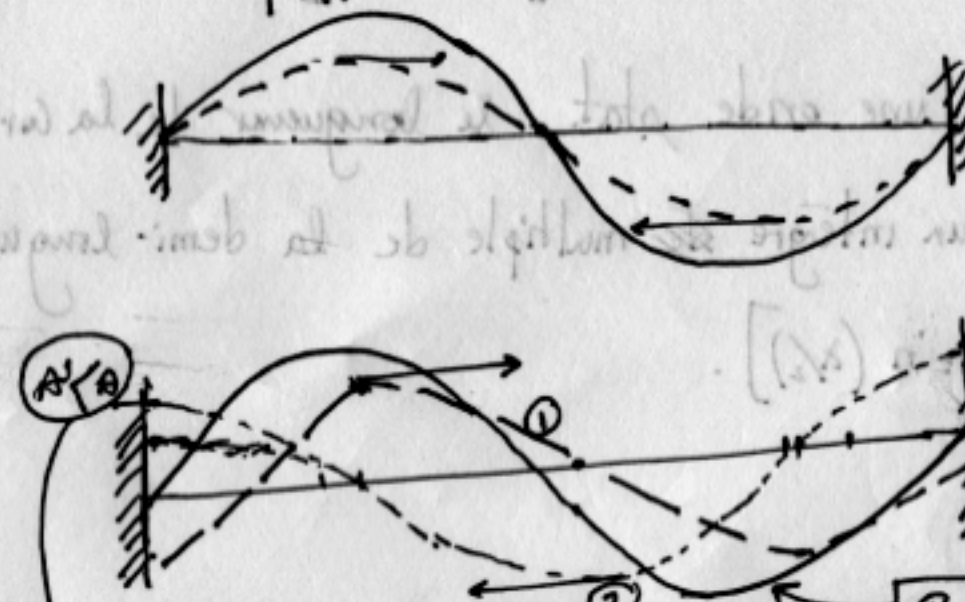
$$y(x,t) = A \sin(kx) \cos(wt) \quad (8.18)$$

cf. équ. 8.10. Le résultat important, onde stat. est la superposition de deux ondes prog. avec même freq. & même amp. qui se propage dans des dir. opposées.



Remarque :
- Les deux ondes prop., qui on a considéré ci-dessus etendus au distances larges ($x \rightarrow \pm\infty$). Une corde tendue entre 2 bâtis/murs à une longueur fini, Mais elle peut support des onde stat. ? Dans ce cas, c'est la réflexion à les deux bâtis/murs qui produise les deux ondes prop.

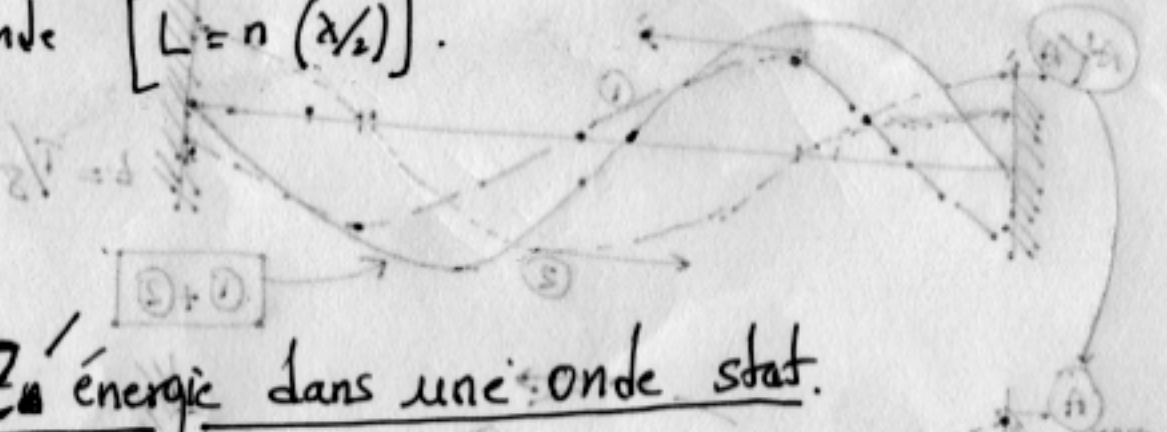
dans 2 dirs. opposées, [] crée une corde de tension et le



- no Les ondes réfléchies à un "mure/bati fixé" à même amp. que les ondes incidentes mais avec une déphasage de " π ".
- no on voit que le déplacement de la corde est toujours zero

à la position de les deux murs $[x=0, x=L]$

→ Pour obtenir une onde stat. de longueur de la corde doit être un intégrer ~~se~~ multiple de la demi-longueur d'onde $[L = n(\lambda/2)]$.



8.3. L'énergie dans une onde stat.

On a vu dans sect. 7.5. que l'énergie d'une onde prog. est transportée par l'onde à ~~à~~ la vitesse d'onde.

Une onde stat. est la superposition de deux ondes progs. avec même ω & A mais sont en dir. opposées. Alors, les énergies de ces deux ondes sont transportées dans dirs. opposés \Rightarrow aucun net transport d'énergie

Mais, clairement il y'a énergie dans une onde stat.

Une corde vibrante à E cinétique [mouvement] et E potentielle [~~à~~ dû à la tension T]

→ l'appelé que l'énergie totale continue dans une segment $a \leq x \leq b$ d'une corde ~~avec~~ une onde transversale est sur laquelle il y'a

$$E = \frac{1}{2} \mu \int_a^b \left[\left(\frac{\partial y}{\partial t} \right)^2 + v^2 \left(\frac{\partial y}{\partial x} \right)^2 \right] dx \quad (8.19)$$

Pour une corde vibrante de longueur L dans un seule mode, on a la soln. de l'equ. d'onde.

$$y_n(x,t) = A_n \sin \left(\frac{n\pi}{L} x \right) \cos (\omega_n t + \phi) \quad (8.20)$$

Subst. (8.20) dans (8.19) & Simplifier.

$$E_n = \frac{1}{2} \mu A_n^2 \left\{ \omega_n^2 \sin^2(\omega_n t + \phi) \int_0^L \sin^2 \left(\frac{n\pi}{L} x \right) dx + v^2 \left(\frac{n\pi}{L} \right)^2 \cos^2(\omega_n t + \phi) \int_0^L \cos^2 \left(\frac{n\pi}{L} x \right) dx \right\}$$

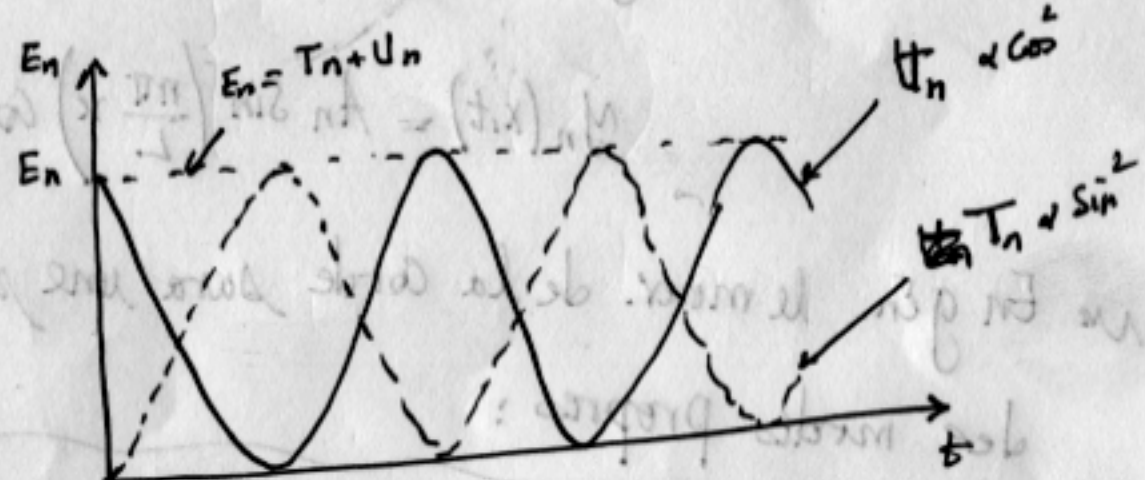
barre sous la brûlure + $v^2 \left(\frac{n\pi}{L} \right)^2 \cos^2(\omega_n t + \phi) \int_0^L \cos^2 \left(\frac{n\pi}{L} x \right) dx$
Le terme suivant est nul. ($\omega t \rightarrow \infty$) signal continu

$$\sin^2 x = \frac{1}{2} [1 - \cos 2x]$$

Donc,

$$E_n = \frac{1}{4} \mu L \tilde{A}_n \omega_n^2 \left[\sin^2(\omega_n t + \phi) + \cos^2(\omega_n t + \phi) \right]$$

$$= \frac{1}{4} \mu L \tilde{A}_n \omega_n^2 \quad (8.21)$$



c.f. OHS !!:

- L'énergie est transférée entre T & U continuellement, avec E_{totale} restant ~~fixe~~ constante.

(i) Ceci est une caract. des systèmes oscillatoires (OHS)

(ii) Remarque que: $E_n \propto \omega_n^2$ et $E_n \propto \tilde{A}_n^2$

$$m = \mu L$$

$$k = m \omega^2$$

l'aff. est facteur $\frac{1}{2}$!

$$\begin{cases} E = \frac{1}{2} k \tilde{A}^2 \\ E_n = \frac{1}{4} \mu L \omega_n^2 \tilde{A}^2 \end{cases}$$

8.4. Ondes statiques comme des modes propres d'une corde vibrante

- On a vu que la caract. import. d'un mode propre est que
 - toutes les masses se déplacent dans une OHS à la même freq.
 - Les mode propres sont complètement indép. et la mouv. gen. du système est une superposition de ces mode propres.

→ Toutes ces propriétés sont présent dans les ondes statiques sur une corde vibrante.

→ ondes statiques sont les modes propres de la corde vibrante.

8.4.1. Principe de Superposition:

Constate que, si $y_1(x,t)$ et $y_2(x,t)$ sont deux solns. quelconques de l'équ. d'onde, alors il en est toute combinaison linéaire

$$y(x,t) = A_1 y_1(x,t) + A_2 y_2(x,t); \quad A_1, A_2 \text{ constantes}$$

• Ce résultat est une conséquence de la linéarité de l'équation d'onde

$$\left\{ \begin{array}{l} \text{pas de } y^n; n=2,3,\dots \\ \text{pas de } y(\frac{\partial y}{\partial x}), \dots \text{etc} \end{array} \right.$$

→ équation d'onde est une équation linéaire

$$\frac{\partial^2 y_1}{\partial x^2} = \frac{1}{v^2} \frac{\partial^2 y_1}{\partial t^2}$$

$$\frac{\partial^2 y_2}{\partial x^2} = \frac{1}{v^2} \frac{\partial^2 y_2}{\partial t^2}$$

$$A_1 \frac{\partial^2 y_1}{\partial x^2} + A_2 \frac{\partial^2 y_2}{\partial x^2} = \frac{1}{v^2} \left(A_1 \frac{\partial^2 y_1}{\partial t^2} + A_2 \frac{\partial^2 y_2}{\partial t^2} \right)$$

$$\Rightarrow \frac{\partial^2}{\partial x^2} \underbrace{\left[A_1 y_1 + A_2 y_2 \right]}_y = \frac{1}{v^2} \frac{\partial^2}{\partial t^2} \underbrace{\left(A_1 y_1 + A_2 y_2 \right)}_y \quad (8.23)$$

• Remarque : La superposition

$$\xi(x,t) = \sum_{i=1}^{\infty} A_i y_i(x,t) \quad (8.24)$$

est aussi une soln. si y_i , $i=1, \dots, \infty$ sont des solns. de l'équation d'onde

8.4.2. Superposition des modes propres

- On a trouvé que le mode propre $n^{\text{ème}}$ d'une corde vibrante de longueur L est,

$$y_n(x,t) = A_n \sin\left(\frac{n\pi}{L}x\right) \cos(\omega_n t + \phi) \quad (8.24)$$

• En gén. le mouvr. de la corde aura une superposition des modes propres :

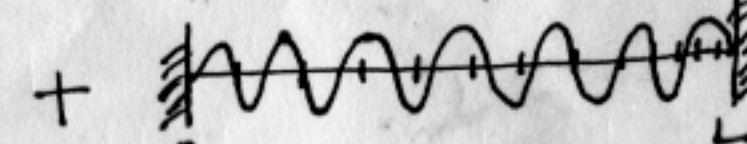
$$y(x,t) = \sum_n y_n(x,t) = \sum_n A_n \sin\left(\frac{n\pi}{L}x\right) \cos(\omega_n t + \phi) \quad (8.25)$$

$$\omega_n = \frac{n\pi v}{L}$$

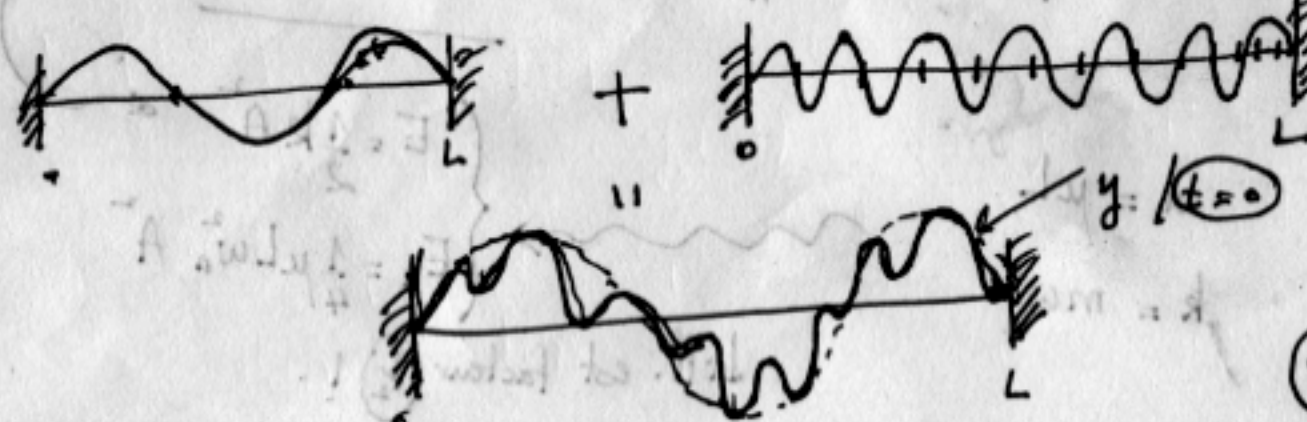
Exemple :

$$y = y_3(x,t) + y_{13}(x,t)$$

$t=0$



$t=0$



(8.26)

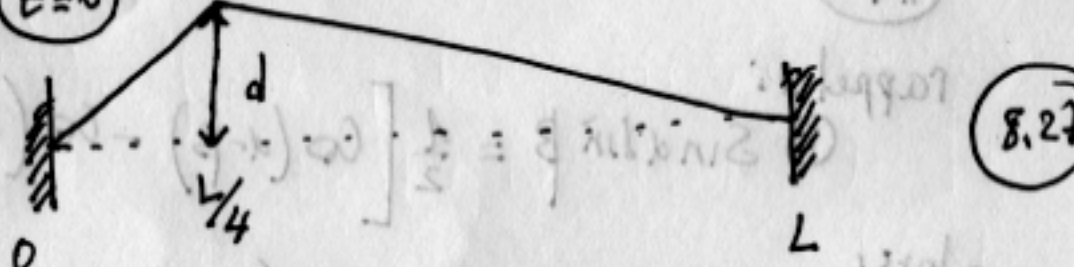
Pour exciter les deux modes (y_3, y_{13}) de cette façon, nous aurions - en quelque sorte - avoir pour contrainte la forme de la corde comme dans fig. 8.26, puis le relâche au

$$t=0$$

→ pas pratique !

✓ pratiquement :

$$t=0$$



8.27

La forme triangulaire ne correspond à aucune des formes des modes propres ?!

y_n (sinusoidale)

* La chose remarquable est qu'il est possible de reproduire cette forme triang. en additionnant les modes propres de la corde avec des amps. appropriés

exemple : pour 8.27, on peut prendre

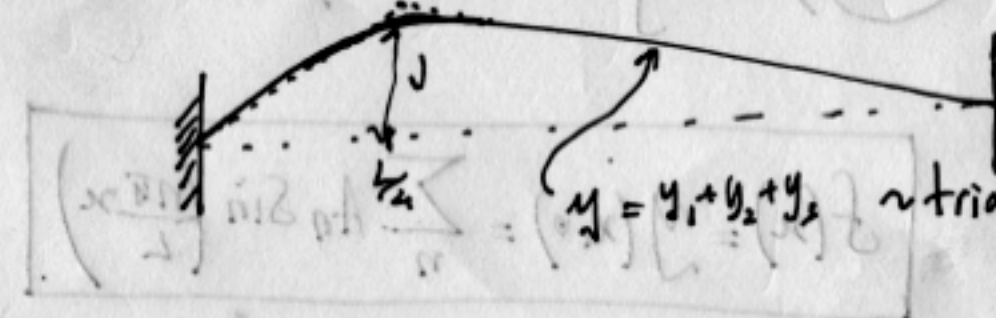
$$y = y_1(x_1) + y_2(x_2) + y_3(x_3)$$

au

$$\left\{ \begin{array}{l} A_1 = A = \frac{32\omega}{3\pi^2} \\ A_2 = \frac{A}{2\sqrt{2}} \\ A_3 = \frac{A}{9} \end{array} \right.$$

→ "Voir Série de Fourier ci-dessous"

8.29



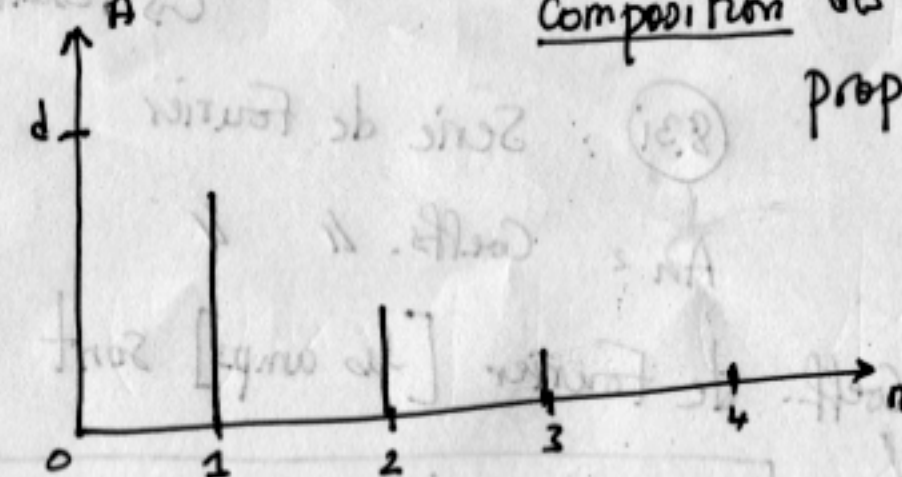
8.28

Conclusion :

Hors que on pince [pluck] une corde on excite beaucoup de ses modes propres, et le mouvement ultérieur de la corde est donné par la superposition de ces modes propres selon l'équ. 8.25.

✓ Spectre de fréquence

composition des mode propres



8.30

N.B. $y_4 \propto \sin\left(\frac{4\pi}{L}x\right) = 0$ pour $x = \frac{L}{4}$, y_4 n'est pas excité !!

8.31

8.32

8.4.3. Les amps. des modes propres & L'analyse de Fourier

- D'après Equ. (8.25), la forme initiale, $t=0$, de la corde est:

$$f(x) = y(x, 0) = \sum_n A_n \sin\left(\frac{n\pi}{L}x\right) \quad (8.31)$$

En fait : "Une forme quelconque, $f(x)$, de la corde avec des extrémités fixes [$f(0) = f(L) = 0$] peut être écrit comme une superposition de fonctions sinusoidale (sinus) avec des valeurs appropriées pour les coeffs. $A_1, A_2 \dots, A_n$."

↳ résultat par Fourier

(8.31) : Série de Fourier

A_n : Coeffs. //

- Les coeff. de Fourier [les amps] sont donnés par,

$$A_n = \frac{2}{L} \int_0^L \sin\left(\frac{n\pi}{L}x\right) f(x) dx ; n=1, 2, \dots \quad (8.32)$$

Prof:

$$f(x) = \sum_n A_n \sin\left(\frac{n\pi}{L}x\right) ; n, m \in \text{Intégrer}$$

$$\Rightarrow \int_0^L f(x) \sin\left(\frac{m\pi}{L}x\right) dx = \int_0^L \sum_n A_n \sin\left(\frac{n\pi}{L}x\right) \sin\left(\frac{m\pi}{L}x\right) dx \\ = \sum_n A_n \int_0^L \sin\left(\frac{n\pi}{L}x\right) \sin\left(\frac{m\pi}{L}x\right) dx$$

(i) $n \neq m$

Rappeler:

$$\textcircled{1} \quad \sin a \sin b = \frac{1}{2} [\cos(a-b) - \cos(a+b)]$$

alors,

$$\sin\left(\frac{n\pi}{L}x\right) \sin\left(\frac{m\pi}{L}x\right) = \frac{1}{2} \left\{ \cos\left[\frac{(n-m)\pi}{L}x\right] - \cos\left[\frac{(n+m)\pi}{L}x\right] \right\}$$

$$\textcircled{2} \quad \int_0^L \cos\left[\frac{(n-m)\pi}{L}x\right] dx = \frac{L}{\pi(n-m)} \sin\left[\frac{(n-m)\pi}{L}x\right] \Big|_0^L = 0$$

$$(ii) \underline{n=m} \quad \int_0^L \sin^2\left(\frac{n\pi}{L}x\right) dx = \int_0^L \frac{1}{2} \left[1 - \cos\left(\frac{2n\pi}{L}x\right) \right] dx$$

$$= \frac{L}{2} - \int_0^L \cos\left(\frac{2n\pi}{L}x\right) dx \\ = \frac{L}{2}$$

Donc.

$$\int_0^L \sin\left(\frac{n\pi x}{L}\right) \sin\left(\frac{m\pi x}{L}\right) dx = \delta_{nm} \frac{L}{2}.$$

$$\Rightarrow \int_0^L f(x) \sin\left(\frac{m\pi x}{L}\right) dx = \sum_n A_n \delta_{nm} \frac{L}{2}$$

$$= A_m \cdot \frac{L}{2}$$

Remarques: Pour la résolution de l'équ. du mouv. on a besoin de les cond. initiales.

~ Pour une corde, on a un continuum de particules, ou les cond. initiales sont la position initiale et la vitesse initiale de chaque point de la corde.

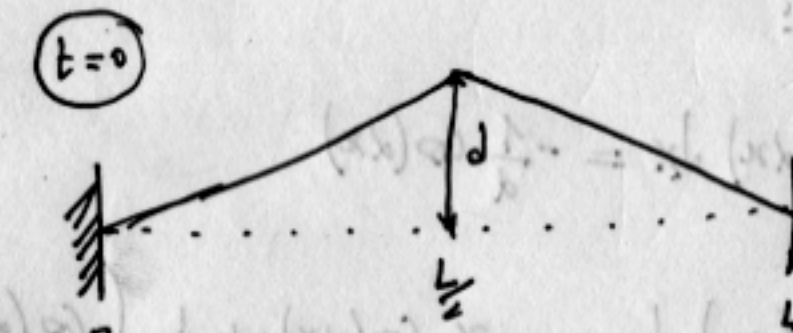
\Rightarrow Nous allons traiter le cas particulier

$$\begin{cases} \frac{\partial y(x,t)}{\partial t} \Big|_{t=0} = 0 \\ y(x,t) \Big|_{t=0} = f(x) \end{cases}$$

(8.33)

Autres cond. init. donnent autre série de Fourier.

Exemple.



Trouver les trois premiers modes propres qui sont excités & les ampr. en terme de la dépl. initiale d.

Soln.

$$\text{on a: } y(x,0) = f(x)$$

$$\text{ou: } f(x) = \begin{cases} \frac{2d}{L}x ; \frac{L}{2} \geq x \geq 0 \\ -\frac{2d}{L}x + 2d ; L \geq x \geq \frac{L}{2} \end{cases}$$

alors,

$$\begin{aligned} A_n &= \frac{2}{L} \int_0^{\frac{L}{2}} \frac{2d}{L}x \cdot \sin\left(\frac{n\pi}{L}x\right) dx \\ &\quad + \frac{2}{L} \int_{\frac{L}{2}}^L \left[-\frac{2d}{L}x + 2d\right] \sin\left(\frac{n\pi}{L}x\right) dx \\ &= \frac{4d}{L^2} \int_0^{\frac{L}{2}} x \sin\left(\frac{n\pi}{L}x\right) dx - \frac{4d}{L^2} \int_{\frac{L}{2}}^L \left(x - \frac{L}{2}\right) \sin\left(\frac{n\pi}{L}x\right) dx \end{aligned}$$

Remarque que

$$\int \sin(dx) dx = -\frac{1}{d} \cos(dx)$$

$$\int x \sin(dx) dx = -\frac{x}{d} \cos(dx) + \frac{1}{d^2} \int \cos(dx) dx$$

$u=x$ $v'=\sin(dx)$ $= -\frac{x}{d} \cos(dx) + \frac{1}{d^2} \sin(dx)$
 $u'=1$ $v=-\frac{1}{d} \cos(dx)$

Donc,

$$\left\{ \begin{array}{l} \int_0^L x \sin\left(\frac{n\pi x}{L}\right) dx = \left(\frac{L}{n\pi}\right)^2 \sin\left(\frac{n\pi}{2}\right) \\ \int_0^L x \sin\left(\frac{n\pi x}{L}\right) dx = -\frac{L^2}{n\pi} \cos(n\pi) - \left(\frac{L}{n\pi}\right)^2 \sin\left(\frac{n\pi}{2}\right) \\ -L \int_{\frac{L}{2}}^L \sin\left(\frac{n\pi x}{L}\right) dx = +\frac{L^2}{n\pi} \cos(n\pi) \end{array} \right.$$

Finallement,

$$A_n = \frac{8d}{(n\pi)^2} \sin\left(\frac{n\pi}{2}\right)$$

$\neq 0$ si n est impair = 1, 3, 5, 7, ...

$= 0$ si n est pair = 2, 4, 6, ...
(node à $\frac{L}{2}$)

$$y_n = A_n \sin\left(\frac{n\pi}{L}x\right) \cos(\omega_n t)$$

avec $\omega_n = \frac{n\pi v}{L}$, $v = \sqrt{T/\mu}$

8.4.4. L'énergie d'une corde vibrante

Rappel que

$$E = \frac{1}{2} \mu \int_a^b \left[\left(\frac{\partial u}{\partial x} \right)^2 + v^2 \left(\frac{\partial y}{\partial x} \right)^2 \right]$$

$$y(x,t) = \sum_n A_n \sin\left(\frac{n\pi}{L}x\right) \cos(\omega_n t)$$

$$\left(\frac{\partial y}{\partial t} \right)^2 = \frac{\partial^2 y}{\partial t^2} \cdot \frac{\partial^2 y}{\partial x^2}$$

$$= \left[- \sum_n A_n \omega_n \sin\left(\frac{n\pi}{L}x\right) \sin(\omega_n t) \right]$$

$$\cdot \left[- \sum_m A_m \omega_m \sin\left(\frac{m\pi}{L}x\right) \sin(\omega_m t) \right]$$

Mais les termes crées

$$m \neq n \quad \sin\left(\frac{n\pi}{L}x\right) \sin\left(\frac{m\pi}{L}x\right) \text{ et } \cos\left(\frac{n\pi}{L}x\right) \cos\left(\frac{m\pi}{L}x\right)$$

dont zero après l'intégration.

↔ L'énergie totale E est.

$$E = \frac{1}{2} \mu \int_0^L \sum_n A_n \left[\sin^2\left(\frac{n\pi}{L}x\right) \sin^2(w_n t) w_n^2 + v_s^2 \left(\frac{n\pi}{L}\right)^2 \sin^2\left(\frac{n\pi}{L}x\right) \cos^2(w_n t) \right] dx$$

w_n^2

$$E = \frac{1}{4} \mu L \sum_n A_n^2 w_n^2$$

8.34

La caract. la plus intéressante de ce résultat est que chaque mode propre contribue une énergie

$$E_n = \frac{1}{4} \mu L A_n^2 w_n^2$$

8.35

indépendamment des autres modes.
typique pour les modes propres.